

بررسی کانی‌شناسی و زمین‌شیمی معدن بنتونیت چاه گلستان سرايان، خراسان جنوبی

علی رضا نماینده

کارشناس ارشد زمین‌شناسی اقتصادی دانشگاه تهران

سروش مدبری

استادیار زمین‌شناسی اقتصادی دانشگاه تهران

محسن رنجبران

استادیار رسمی زمین‌شناسی دانشگاه تهران

تاریخ دریافت: ۹۱/۴/۲۷ تاریخ پذیرش: ۹۲/۱/۲۷

Alirezanemayande@yahoo.com

چکیده

معدن بنتونیت چاه گلستان در شهرستان سرايان خراسان جنوبی قرار دارد. در این پژوهش با استفاده از مطالعات کانی‌شناسی و زمین‌شیمیایی شرایط تشکیل و زایش این معدن بررسی گرفت. روش‌های تجزیه ای شامل تجزیه پراش پرتو X (XRD) و تجزیه شیمیایی (ICP-MS و XRF) بنتونیتها و سنگ دورنگیرشان می‌شود. کانی اصلی بنتونیت در این معدن، مونتموریلونیت سدیمی است. همچنان کانیهای مانند آبیت، کریستوبالیت، کلسیت، کوارتز، هالیت و ارتوکلاز نیز حضور دارند. بر اساس داده‌های زمین‌شیمیایی ماقمای مادر ریولیتی، سری ماقمایی به وجود آورده بنتونیتها، آهکی – قلیابی و محیط زمین ساختی کمان آتشفشاری همزمان با برخورد صفحات است. این معدن در یک فرآیند دیازنتیکی بوسیله دگرسانی شیشه آتشفشاری در یک لاغون بوجود آمده است. برخی از شواهد موجود شامل چینه کران بودن کانیها، مقدار بالای مونتموریلونیت، حضور لایه‌های ژپس که به صورت بین لایه‌ای با بنتونیت وجود دارند، فقدان دگرسانی هیدرولیک و ... می‌شود.

کلمات کلیدی: بنتونیت، چاه گلستان، ماقمای ریولیتی، کانی‌شناسی، زمین‌شیمی، سرايان

مقدمه

بنتونیتها را می‌توان بر اساس ویژگیهای فیزیکی و کانی‌شناسی آنها به دو دسته تقسیم کرد: نوع سدیمی یا سدیم – کلسیمی (عضو میانی) که دارای تورم پذیری بالا تا متوسط است و نوع کلسیمی که تورم پذیری پایین دارد (Takagi, et al., 2005). دسته اول به طور معمول به صورت توده‌های معدنی لایه‌ای و در مقیاس بزرگ به وجود می‌آید که یکی از مثالهای آن کانسارهای آیومینگ و مونتنا در آمریکا است (Hosterman & Patterson, 1992). کانسارهای بنتونیت از این نوع، به طور کلی بوسیله فرآیندهای دیازنتیکی شکل گرفته اند که به معنای دقیق تر شامل واشیشه ای شدن شدید خاکستر، آبغیری و در نهایت بلوری شدن اسمنتیت می‌شود (Grim & Guven, 1978). نمونه دوم اکثراً به صورت توده‌های معدنی متوسط تا کوچک مقیاس نامنظم و یا عدسی شکل شده به وجود می‌آید و به طور گسترده در ایتالیا، خاورمیانه، ترکیه و یونان یافت می‌شوند (Christidis et al., 1995; Yalcin & Gumuser, 2000; Yildiz & Kuscu, 2004 e.g.). کانسارهای بنتونیت این گروه نه تنها به صورت دیازنتیک بلکه توسط جریانهای گرمایی و دگرسانی ثانویه نیز شکل می‌گیرند.

بنتونیت سنگی است که به طور کلی از کانیهای گروه اسمنتیت تشکیل شده است. همانطور که Keith and Murray (1994) اشاره کردند، نمی‌توان برای یک کانی صنعتی صرفاً بر اساس منشا و ماده ابتدایی آن تعریفی ارائه کرد از این رو تعریف ارائه شده بنتونیتها را بدون در نظر گرفتن رخداد منشا به عنوان کانیهای گروه اسمنتیت در نظر می‌گیرد (Grim, 1962) که به نظر می‌رسد برای یک کانی صنعتی، تعریف مطلوبی باشد.

کانیهای اصلی گروه اسمنتیت مونتموریلونیت سدیم، مونتموریلونیت کلسیم، ساپونیت (مونتموریلونیت منیزیم)، نانترونیت (مونتموریلونیت آهنی)، هکتوریت (مونتموریلونیت لیتیم‌دار) و بدليت (مونتموریلونیت آلومینیم‌دار) هستند. غالباً آنها مونتموریلونیت سدیمی و کلسیمی هستند. مونتموریلونیت کلسیمی غالباً این گروه اسمنتیت است و در بسیاری از نقاط جهان یافت می‌شوند. رخداد مونتموریلونیت سدیمی در مقایسه با نوع کلسیمی نسبتاً کمیاب است بزرگترین و شناخته شده ترین رخداد بنتونیت در ایالت وایومینگ و مونتنا در آمریکا قرار دارد. ساپونیت در نواحی کمی از جهان تشکیل می‌شود و هکتوریت، بدليت و نانترونیت نادر هستند. نانترونیت در خاک‌های غنی از آهن به وجود می‌آید (Murray, 2007).

Taylor & Surdam, 1981; Steefel & Van Cappellen, 1990; Yildiz & Kuscu, 2004.

کانسارهای بنتونیتی ایران در ۶ منطقه پدید آمده است که بیشتر آنها در ارتباط با فعالیتهای آتششانی سنزوئیک است. تفکیک این مناطق می تواند برای بی جوئی بنتونیت مفید باشد. این مناطق به قرار زیر است :

- زون بنتونیتی سمنان - ترود
- زون بنتونیتی البرز - آذربایجان
- زون بنتونیتی خاور ایران
- زون بنتونیتی ایران مرکزی
- زون بنتونیتی تفرش - تکاب

علاوه بر این ۵ زون، در رشته کوههای زاگرس نیز منابع و نشانه های بنتونیتی وجود دارد که به نام بنتونیتهای زون زاگرس نامیده می شود(حجازی و قربانی، ۱۳۷۳).

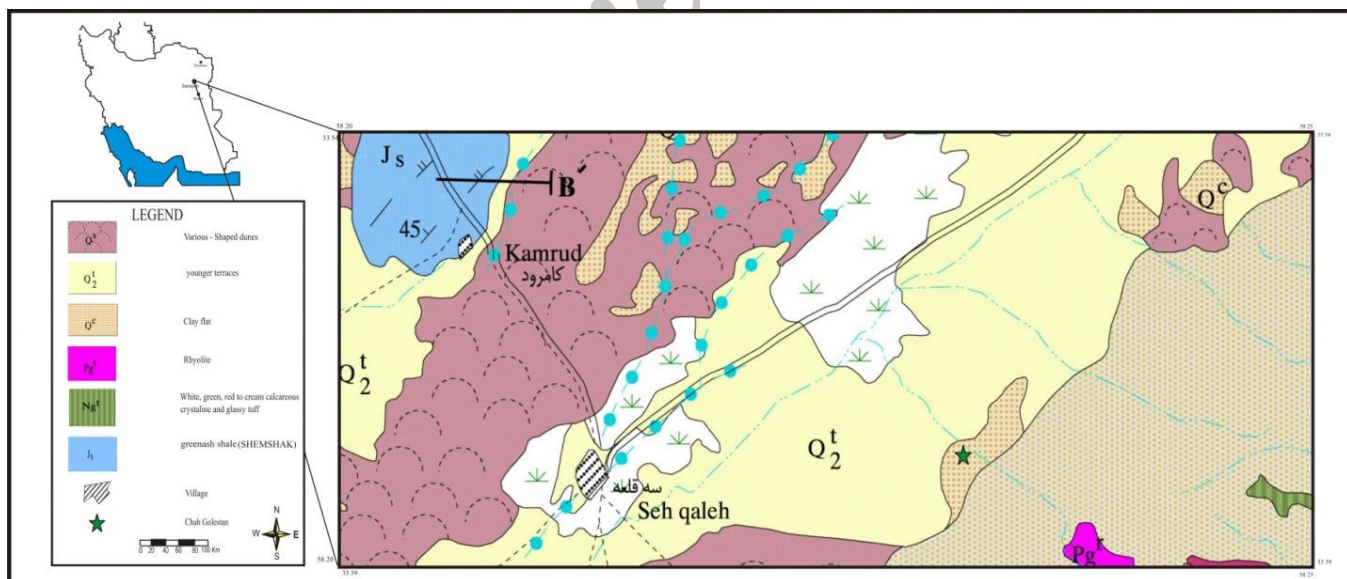
معدن چاه گلستان در ۲۳ کیلومتری جنوب شهرستان سرایان در استان خراسان جنوبی (شکل ۱) و دارای ذخیره قطعی ۷۹۰ هزار تن است. گستره مورد بررسی از نظر موقعیت زمین شناسی ایران بخشی از زون بنتونیت خاور ایران و در پیوند با سنگهای آتششانی ائوسن زیرین تا ائوسن بالایی است(حجازی و قربانی، ۱۳۷۳). از نظر موقعیت جغرافیایی منطقه مورد مطالعه در طول جغرافیایی ۳۱° شرقی و عرض جغرافیایی ۳۵° ۳۳° شمالی قرار دارد. هدف این پژوهش تعیین شرایط تشکیل و زایش معدن بنتونیت چاه گلستان با استفاده از مطالعات کانی شناسی و زمین شیمیایی است. تا کنون بجز تعدادی گزارش، مطالعه دقیقی بر روی این کانسار انجام نگرفته است.

به تازگی، مطالعات دقیقی در سطح جهان در ارتباط با نحوه شکل گیری و رفتار عناصر اصلی، فرعی و بویژه عناصر خاکی کمیاب بر روی کانسارهای بنتونیت انجام شده است. (Spears et al., 1999; Christidis, 2001; Berkley & Baird, 2002; pellenard et al., 2003; Muchangos, 2006; Foreman et al., 2007; savage et al., 2007; Huff, 2008; Kolarikova & Hanus, 2008; Hints et al., 2008; Abedini et al., 2009). این کانسارها در فرآیند دیاپزیکی، گرمابی و یا در آخرین مراحل دگرسانی ایجاد می شوند. (Takagi et al., 2005).

از دیدگاه زایشی به طور کلی بنتونیتها به سه روش زیر تشکیل می شوند:

- دگرسانی در جای شیشه آتششانی در محیطهای آبی
- دگرسانی گرمابی شیشه آتششانی
- دگرسانی ثانویه در آخرین مراحل دگرسانی مواد آذرین که شامل واکنش بخار و گازها با مواد آذرین می شود (Christidis et al., 1995).

به طور کلی، بنتونیت از راه دگرسانی خاکستر شیشه ای و توف شکل می گیرد. این فرآیند توسط مقدار Al و Mg کنترل می شود و بوسیله برهم کنش شیمیایی به وجود می آید. این برهم کنش بر حرکت کردن عناصر از شیشه دگرسان شده به بنتونیت و بلعکس موثر است. تغییر مواد شیشه ای به اسمکتیت از راه آبپوشی رخ می دهد. زئولیت، چند شکلی های سیلیس و یونهای فلزات محصولات ثانویه این واکنش دگرسانی هستند. رفتار قلیاییها در شکل گیری بنتونیت موثر است. کمبود قلیاییها و فعالیت بالای Mg شکل گیری بنتونیت را تسهیل می کند. (Hay, 1977; Senkayi et al., 1984 Mariner & Surdam, 1970;).



شکل ۱. نقشه زمین شناسی منطقه مورد مطالعه و موقعیت معدن چاه گلستان (نادری میقان، ۱۳۷۹ با تغییرات)

روش کار و نمونه برداری

در سه مرحله بازدید صحرایی، پس از بررسی زمین شناسی و شناسایی منطقه، از واحدهای سنگی سالم، هوازده و ماده معدنی بر اساس رنگ، چگالی، درجه سنگ شدگی و بافت، نمونه برداری سیستماتیک انجام گرفت. نمونه‌ها از عمق ۳۵ تا ۴۰ سانتی‌متری برداشته شدند تا تاثیر هوازدگی و آلودگی سطحی که در اثر اختلاط مواد در حین عملیات خاک برداری از سینه کارهای فعال به وجود آمد، به حداقل برسد. نمونه برداری از سینه کارهای متفاوت این معدن انجام گرفت که گاه فاصله زیادی در حد ۵۰ متر از هم فاصله دارند. نمونه برداری قسمتی از معدن که سنگ درونگیر در آن حضور داشت، از بالا تا به پایین و به طور سیستماتیک همراه با تغییر رنگ بنتونیت‌ها انجام گرفت به طوری که از سنگ کمر بالا(S.GO.A)، سنگ حد老子(S.GO.2) و ۳ نمونه بنتونیت دیگر(S.GO.3) و S.GO.4 و S.GO.5 با رنگهای متفاوت نمونه برداری شد(شکل ۲). در برخی سینه کارها سنگ درونگیر رختمنوی نداشت و از اینرو تنها از بنتونیت نمونه گرفته شد. برای مقایسه و بررسی بیشتر تغییرات، ۳ نمونه دیگر بنتونیت (نمونه S.G.A و S.G.B و S.G.C) و یک نمونه سنگ درونگیر(S.GO.B) از سینه کارهای دیگر معدن برداشته شد که در ادامه در مورد آنها بحث خواهد شد. برای بررسی دقیق کانی‌های تشکیل دهنده بنتونیتها، به طور کلی ۷ نمونه مورد مطالعه قرار گرفت. ۳ نمونه از آنها برای تجزیه نیمه کمی XRD و تجزیه شیمیایی XRF به دانشگاه گرانادای اسپانیا فرستاده شد و پس از دریافت نتایج و برای اطمینان از درستی آن، ۴ نمونه دیگر نیز توسط شرکت مطالعات معدنی زرآزما مورد بررسی قرار گرفت(جدول ۱). همچنین به

جدول ۱. ترکیب کانی شناختی بنتونیتهاي معدن چاه گلستان بر اساس نتایج XRD

Samples	Smc 1/2A	Smc 1/4A	Ilt	OPI-Crs	Hmt	Ab	Or	Hal	Qtz	Cpl	Cal	Py	An
S.G.A	xxxxx	-	-	xxx	-	tr	-	-	-	-	tr	-	-
S.G.B	xxxxx	-	-	xxx	-	-	-	-	x	x	x	-	-
S.G.C	xxxxx	-	-	x	-	-	-	-	tr	-	x	-	-
S.Go.۲	xxxxx	-	-	x	-	xx	xxx	tr	-	-	-	-	-
S.Go.۳	xxxxx	-	-	x	-	x	-	-	-	-	-	-	-
S.GO.۴	xxx	-	-	xxx	tr	tr	-	-	tr	-	tr	-	-
S.Go.۵	xxxxx	-	-	xxx	-	-	-	-	-	-	tr	-	-

Smc = Smectite, Ilt = Illite, Opi-Crs = Opal- CT and Cristobalite, Hmt = Hematite, Ab = Albite, Or = Orthoclase, Hal = Halite

Qtz = Quartz , Cpl = clinoptilolite, Cal = Calcite, Py= Pyrite, An= Anorthite

tr < ۵ %, x = ۵ % - ۱۰ %, xx = ۱۰ % - ۲۵ %, xxx = ۲۵ % - ۵۰ %, xxxx = ۵۰ % - ۸۰ %, xxxxx > ۸۰ %

جدول ۲. نتایج تجزیه شیمیایی بنوئیتهای معدن چاه گلستان بر اساس تجزیه XRF و ICP-MS

Element	Samples	S.G.A	S.G.B	S.G.C	S.Go.۲	S.Go.۳	S.Go.۴	S.Go.۵
SiO _۲	%	۶۲/۸۱	۶۵/۰۹۲	۴۸/۱۳	۶۲/۵۶	۶۰/۰۶	۶۹/۴۴	۷۰/۴
Al _۲ O _۳	%	۱۱/۷۶	۱۲/۱	۱۵/۵۶	۱۹/۳۸	۲۰/۱۸	۱۳/۱۸	۱۳/۸۶
Fe _۲ O _۳	%	۲/۱	۱/۸۳	۴/۰۹	۱/۹۵	۴/۲۴	۳/۲۵	۲/۹۱
MgO	%	۰/۰۱	۲/۰۷۹	۲/۲۹	۱/۲۴	۳/۸۴	۲/۸۸	۲/۸۳
CaO	%	۰/۹۱۷	۲/۶	۳/۵۷	۱/۳	۰/۸۹	۲/۰۵	۱/۷۷
Na _۲ O	%	۲/۸۹	۱/۹۴	۶/۰۵	۴/۳۶	۴/۳۶	۲/۴	۲/۳۳
K _۲ O	%	۰/۰۸۶	۰/۴	۰/۳۳	۵/۰۳	۰/۰۹	۰/۱۴	۰/۱۷
TiO _۲	%	۰/۱۸۵	۰/۱۹	۰/۳۳	۰/۴	۰/۴۵	۰/۲۴	۰/۲۴
P _۲ O _۵	%	۰/۰۲	۰/۰۲۸	۰/۰۳۹	۰/۰۵	۰/۰۳	۰/۰۲	۰/۰۲
MnO	%	۰/۰۱	۰/۰۲۹	۰/۰۱۶	۰/۱۳	۰/۰۱	۰/۰۳	۰/۰۲
LoI	%	۱۴/۶	۱۳/۶	۱۷/۸	۳/۳۴	۶/۹۱	۶/۲	۵/۷۴
Total	%	۹۷/۳۸	۹۹/۹۸	۹۸/۲	۹۹/۷۴	۱۰۱/۰۶	۹۹/۸۳	۱۰۰/۲۹
U	ppm	۳/۹۸	۶/۴۱	۵/۳۲	۷/۹۸	۱۰/۴	۳/۶۳	۴/۶۹
Th	ppm	۲۲/۵	۲۱	۲۱/۸	۲۳/۲	۲۶/۲	۲۳/۷	۲۴/۶
Ba	ppm	۷۹۱	۵۷۸	۱۹/۴	۵۰۲	۱۶۹	۴۱۷	۱۳/۱
Cu	ppm	۱۱/۶	۷/۸	۹/۱	۳۴/۳	۲۴/۹	۴/۲	۱۶/۴
Hf	ppm	۶/۵۳	۴/۵۹	۸/۶	۸/۵۳	۹/۳	۶/۷۴	۷/۴۹
Co	ppm	۳/۲	۳/۵	۷/۲	۱۶/۱	۱۳/۳	۳	۵/۳
Cr	ppm	۲	۷	۲	۲	۲	۴	۲
Ni	ppm	۶	۵	۷	۸	۵	۶	۸
Zn	ppm	۷۶	۵۳/۵	۱۰۲	۶۶/۵	۱۴۷	۸۳/۳	۱۱۱
Nb	ppm	۱۷/۶	۱۸/۲	۲۳/۳	۳۰	۲۹/۵	۱۹/۲	۲۰/۵
Cs	ppm	۵/۸	۱۱/۸	۲/۷	۲/۱	۲/۱	۶/۱	۵/۴
Rb	ppm	۱۲/۶	۳۷/۶	۲۲/۱	۱۲۰	۴	۱۷/۱	۲۰/۳
V	ppm	۸	۲۲	۱۴	۱۹	۱۵	۷	۷
Y	ppm	۳۱/۳	۳۵/۴	۵۳/۷	۶۰/۴	۳۷/۸	۳۵/۷	۳۳/۹
Pb	ppm	۴/۴	۱۱/۹	۴/۷	۴۶/۹	۱۲	۴/۷	۷/۷
Be	ppm	۱/۹	۲/۸	۲/۶	۳/۴	۱/۴	۱/۸	۳/۹
Sc	ppm	۶	۸	۱۰	۱۰	۱۰	۶	۷
Zr	ppm	۱۹۴	۱۵۳	۳۳۳	۳۴۳	۳۰۳	۲۱۱	۲۳۱
La	ppm	۳۹/۳	۳۸/۵	۵۱/۲	۵۲	۵۹/۶	۴۳/۹	۴۴/۹
Ce	ppm	۷۴/۹	۷۰/۳	۹۰	۱۰۲	۱۱۱	۸۳/۳	۸۳/۴
Dy	ppm	۵/۱	۵/۵۸	۸/۵۱	۹/۱۷	۷/۶۵	۵/۸۸	۵/۸۶
Er	ppm	۳/۲۲	۳/۴۹	۵/۵۶	۵/۶۹	۳/۹۵	۳/۵۶	۳/۴۶
Eu	ppm	۰/۲۲	۰/۹۳	۱/۵	۱/۶۲	۱/۷۴	۰/۸۳	۰/۸۶
Ga	ppm	۱۴/۵	۱۴/۵	۱۹/۶	۲۳/۲	۲۲/۳	۱۵	۱۶
Gd	ppm	۵/۴۸	۶/۰۲	۸/۱۸	۹/۰۹	۹/۲۸	۶/۳۳	۶/۶۱
Ge	ppm	۱/۰۳	۰/۸۷	۱/۱۹	۰/۹۳	۱/۳	۱/۰۵	۰/۹۴
Hf	ppm	۶/۵۳	۴/۵۹	۸/۶	۸/۵۳	۹/۳	۶/۷۴	۷/۴۹
Ho	ppm	۱/۰۹	۱/۲	۱/۸۷	۱/۹۸	۱/۴۱	۱/۲۳	۱/۲۲
Nd	ppm	۳۲/۶	۳۳/۱	۴۳/۵	۴۶/۲	۵۲/۲	۲۷	۳۸/۱
Pr	ppm	۸/۷۵	۸/۵۶	۱۱/۳	۱۱/۸	۱۳/۷	۹/۸	۹/۹۹
Sm	ppm	۶/۰۸	۶/۲۳	۸/۳	۹	۱۰/۱	۶/۲۶	۷/۰۳
Ta	ppm	۰/۴۷	۰/۴	۲/۲۶	۰/۲۸	۲/۵۸	۰/۱۶	۰/۱۵
Tb	ppm	۰/۸۷	۰/۹۹	۱/۳۵	۱/۴۸	۱/۴۴	۱/۰۲	۱/۰۴
Tm	ppm	۰/۳۱	۰/۳۴	۰/۵۷	۰/۵۶	۰/۳۷	۰/۳۵	۰/۳۳
Yb	ppm	۲/۹۵	۳/۲۴	۵/۵۸	۵/۱۸	۳/۳۹	۳/۳۹	۳/۰۳



شکل ۲. (الف) نمایی از معدن چاه گلستان (ب) لایه های بنتونیت (B) در ارتباط با سنگ درونگیر (CR) (پ) لایه های بنتونیت (B) ت) کنگلومرا چندزادی (ث) بنتونیت قرمز (B) (ج) نمونه های بنتونیت برداشت شده، از سنگ درونگیر تا ماده معدنی

سنگ شناسی

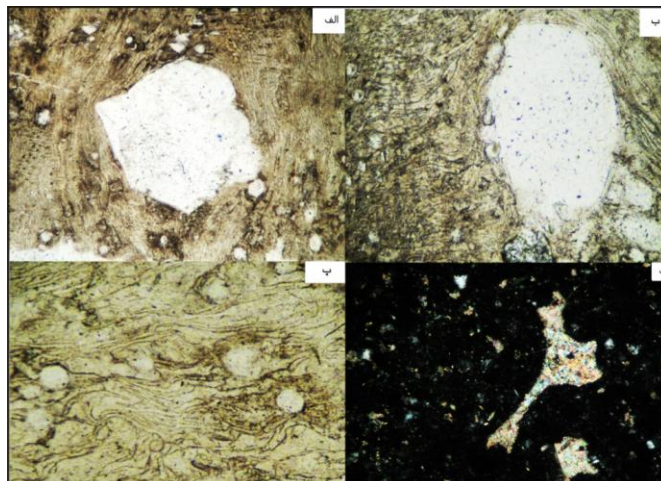
برای درک بهتر از نوع ستگهایی که در نهایت منجر به تشکیل کانسار بنتونیت شده، مطالعه میکروسکوپی سنگها ضروری است که شرح آن در زیر آمده است:

توف ایگنمبریتی (S.G.A) : این واحدها دارای کانیهای پلازیوکلاز، کلسیدونی، زئولیت، آپانیت و کلسیت هستند. در این سنگ حرکت جریانی شاردها بافت ایگنمبریتی را به وجود آورده است. همان طور که گفته شد، سنگ درونگیر دارای حفرهایی است که بلورهای کوارتز و کلسیدونی در داخل حفره ها تشکیل شده است و در ادامه، بلورهای کلسیت نیز اطراف حفرات را پرکرده اند به طوری که حتی پلازیوکلازها نیز به کلسیت دگرسان شده اند (شکل ۳-الف، ب، پ) توف خرده سنگی (S.G.B) : در بررسی نمونه سنگ درونگیر برداشت شده از یکی دیگر از سینه کارهای معدن، قطعات خرده سنگ، شیشه و بلور دیده شد. بافت این سنگ کلا درشت دانه است و قطعات خرده سنگ از نوع ماسه سنگی و کربناته هستند. شاردها در این سنگ کلسیتی شده اند و فرآیند کلسیتی شدن به واضح دیده می شود (شکل ۳-ت). بلورها در این نمونه بیشتر از نوع پلازیوکلاز (آلبیت) بوده و نسبت به توف ایگنمبریتی مقدار کوارتز کمتری در آن دیده می شود.

معدن بنتونیت چاه گلستان بزرگ‌ترین معدن بنتونیت در ناحیه فردوس و سرایان و دارای رخمنهای متفاوتی از ماده معدنی است که این تفاوتها را می توان از روی رنگ و بافت آنها تشخیص داد. بنتونیت با رنگهای سفید، سبز و صورتی تا قرمز در این معدن قابل مشاهده است (شکل ۲). در این کانسار بیش از یک افه بنتونیت با مشخصات سنگ شناختی و رنگ مختلف وجود دارد. بنتونیت در این کانسار به رنگهای متفاوت سبز، سفید و قرمز است ولی بیشتر سینه کارهای معدن به دلیل وجود اکسید آهن به رنگ قرمز هستند (شکل ۲-ث)

نمونه S.G.B از رخمنوی برداشته شده که در آن سنگ درونگیر رخمنون ندارد و ماده معدنی سفید رنگ و حدود ۷ سانتی متر ضخامت دارد. این بخش از معدن توسط یک واحد کنگلومرا چندزادی پوشیده شده است. اجزا این کنگلومرا عمدتاً از آهک انولیتی، خرده های ماسه سنگی و آهکهای چرت دار تشکیل شده است (شکل ۲-ت).

در سینه کارهای معدن، نمونه برداری به صورت عمودی و سیستماتیک انجام شد. در اینجا سنگ کمر بالا دارای هوازدگی شدید و بافت بادامی شکل است که در آن حفرات ثانویه توسط کوارتز پر شده اند. رنگ بنتونتها از سنگ کمر بالا به سمت پایین از قرمز به سبز کم رنگ تغییر می کند. سنگ درونگیر به طور کامل دگرسان شده است ولی در بعضی مناطق نمونه های حد واسط نیز دیده می شوند.



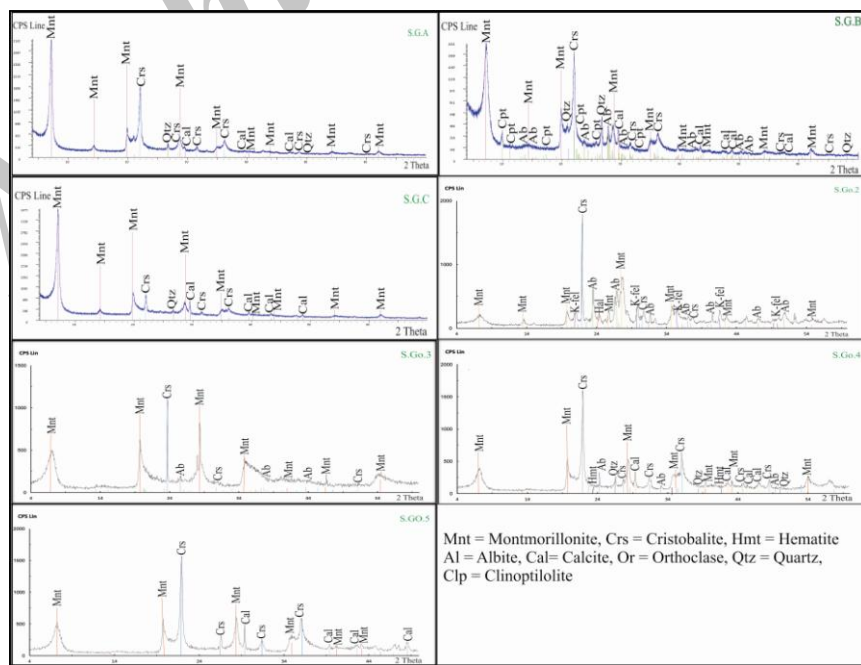
شکل ۳. (الف و ب) بافت ایگنومیریتی در اطراف کانی پلازیوکلر (ب) بافت ایگنومیریتی (ت) جانشینی شارد شیشه‌ای توسط کلسیت

کانی شناسی

بنتونیت در نمونه ها 12A° است که نشان می دهد مونتموریلونیت این منطقه از نوع سدیمی است. از سوی دیگر میزان CaO و Na_2O سدیمی و کلسیمی بودن نمونه را مشخص می نماید که در بررسی این مسئله میزان Na_2O در تمامی نمونه ها بجز CaO از S.G.B بیشتر است که تاییدی دیگر بر سدیمی بودن بنتونیتیها است. چند ریختهای سیلیس به شکل های کوارتز، اپال CT و اپال C (کریستوپالیت) حضور دارند (جدول ۱). زئولیت به صورت کلینوپیتولیت و به مقدار اندک فقط در یکی از نمونه ها دیده می شود. فلدسپار K نیز فقط در یکی از نمونه ها دیده می شود، در صورتی که میزان آلبیت و کلسیت در نمونه ها زیاد است. هالیت نیز در برخی از نمونه ها به صورت فاز فرعی وجود دارد (شکل ۴ و جدول ۱).

معمولی ترین کانی اسمکتیت، مونتموریلونیت کلسیم دار است که در آن نبود بار لایه ای به وسیله آب و کاتیون کلسیم بین لایه ای مواده می شود. فاصله پایه مونتموریلونیت کلسیم دار $14/2\text{ A}^{\circ}$ است. مونتموریلونیت سدیمی زمانی شکل می گیرد که نبود بار توسط یونهای سدیم و آب مواده شود و فاصله پایه در آن $12/2\text{ A}^{\circ}$ است. مونتموریلونیت کلسیمی دارای دو لایه آب در جایگاه بین لایه ای و مونتموریلونیت سدیمی دارای یک لایه آب است (Murray, 2007).

نتایج تجزیه XRD آشکار کرد که اسمکتیت دوهشت وجهی، فاراصلی در همه بنتونیت ها است. بر اساس مطالعات XRD انجام شده در دانشگاه گرانادای اسپانیا، d_{001}



شکل ۴. الگوهای XRD بنتونیتهای معدن چاه گلستان

سیلیس (TAS) (شکل ۵ الف)، برای سنگ مادر، ترکیب را رویلیتی نشان می-دهد ولی در مورد بنتونیتها گستره متفاوتی از داسیتی، آندزیتی، تراکیتی تا تراکیتی آندزیتی و بازلتی را به نمایش می گذارد که نمی تواند منطقی باشد. همانطور که در بالا گفته شد، عوامل زمین ساختی محیطی و فرآیندهای شستشو باعث تهی شدگی بعضی عناصر شده اند که سیلیس و قلیایی ها را شامل می شود. بنابراین شایسته است که از نمودار Nb/Y - Zr/TiO_2 (Winchester & Floyd, 1977) برای ارزیابی ترکیب ماقمای اصلی سنگ درونگیر بنتونیت استفاده شود (شکل ۵ ب). این عناصر نامتحرك بوده و مقدار آنها در طی فرآیند دگرسانی سنگ درونگیر به بنتونیت تغییر نمی کند. همان طور که بر روی نمودار مشاهده می شود همه نمونه های سنگ درونگیر در بازه رویلیتی قرار می گیرند که این با میزان بالای سیلیس در سنگ درونگیر همخوانی دارد. پس به طور کلی می توان نوع شیشه و وجود آور نده بنتونیتها را اسیدی دانست. از طریق نمودار بهنجار شده عناصر خاکی کمیاب نسبت به کندریت نیز می توان این مسئله را ثابت کرد (شکل ۶). بر اساس این نمودار، Eu در همه نمودارها بی هنجاری منفی نشان می دهد. از آنجا که Eu در فلدسپارها جانشین کلسیم می شود، بی هنجاری منفی نشان دهنده پایین بودن کلسیم است و نشان گر این است که پلازیوکلازاها از نوع سدیمی هستند. عناصر اصلی بر روی نمودار AFM(A = Al_2O_3 , F = Fe_2O_3 , M = MgO) دارای مقدار بیشتری Al_2O_3 هستند. اختلاف در محتوای Al_2O_3 به دلیل وجود پلازیوکلاز (آلبیت) بیشتری نسبت به بقیه است.

زمین شیمی بنتونیت ها

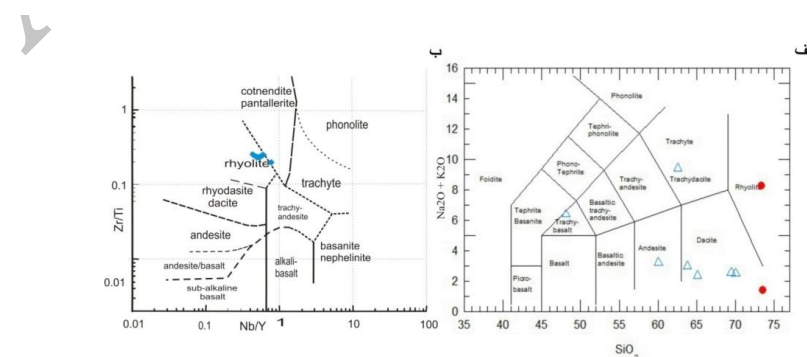
تجزیه شیمیایی بنتونیتها و سنگ درونگیر به ترتیب در جدولهای ۲ و ۳ نشان داده شده است. با وجود آنکه تمامی نمونه ها از سینه کارهای مختلف یک معدن برداشته شده اند، ترکیب شیمیایی نمونه ها دارای بازه گسترده ای است به گونه ای که SiO_2 آنها از ۴۸/۱۳ تا ۷۰/۴ آنها از ۴۸/۱۳ تا ۷۰/۴ تغییر می کند و این در حالی است که این میزان در سنگ درونگیر نزدیک به ۷۳ درصد است. در نمونه های با میزان سیلیس بالا، مقدار MgO و Fe_2O_3 پایین است که این به خاطر تفاوت در ترکیب کانیایی و شیمی بلور اسمکتیت است. برای مثال فراوانی فاز سیلیسی نشان دهنده حضور OPL-CT است. فراوانی پاتاسیم در نمونه S.G.O.2 باعث تشکیل بیش از ۲۵٪ ارتوکلاز شده که در بین تمامی نمونه ها استثنای است و هر چه محتوای CaO بالاتر باشد میزان کلسیت در نمونه ها بیشتر است که نمونه S.G.C همین مسئله را نشان می دهد.

تفسیر نمودارهای زمین شیمیایی

با استفاده از ترکیب عناصر اصلی و فرعی و رسم آنها بر روی نمودارهای متفاوت می توان نوع ماقمای و محیط زمین ساختی را مشخص کرد (Winchester & Floyd, 1977; Pearce et al., 1984). به تازگی، این نمودارها برای مشخص کردن ترکیب ماقمای اولیه مربوط به بنتونیتها نیز استفاده شده است (Roberts & Merriman, 1990; Huff et al., 1993; Christidis & Scott, 1993; Foreman et al., 2008, Yildiz & Dum lupunar, 2009). نمونه های پیاده شده بر روی نمودار قلیایی ها در برابر

جدول ۳. نتایج تجزیه شیمیایی سنگ درونگیر معدن چاه گلستان به روش XRF

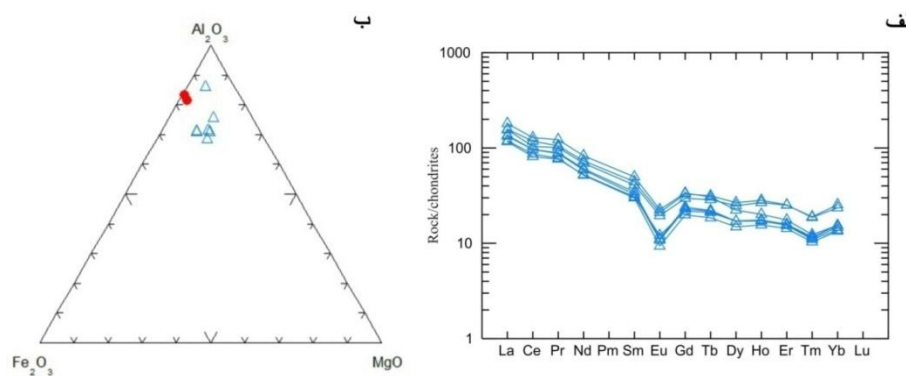
Element	Samples	S.G.O.A	S.G.O.B
SiO_2	%	۷۳/۵۱	۷۳/۳۸
Al_2O_3	%	۱۳/۸	۱۱/۰۶
Fe_2O_3	%	۰/۷۹	۲/۱۲
MgO	%	۰/۱۲	۰/۵
CaO	%	۱/۸۵	۳/۷۹
Na_2O	%	۳/۱۶	۰/۶۵
K_2O	%	۵/۱۲	۰/۷۵
BaO	%	۰/۰۶	۰/۱
P_2O_5	%	۰/۰۴	۰/۱۶
MnO	%	۰/۰۱	۰/۰۴
SO_3	%	۰/۰۴	۰/۱۱
TiO_2	%	۰/۲۸	۰/۴۱
LoI	%	۱/۱۳	۶/۸۸
Total	%	۹۹/۹۱	۹۹/۹۵



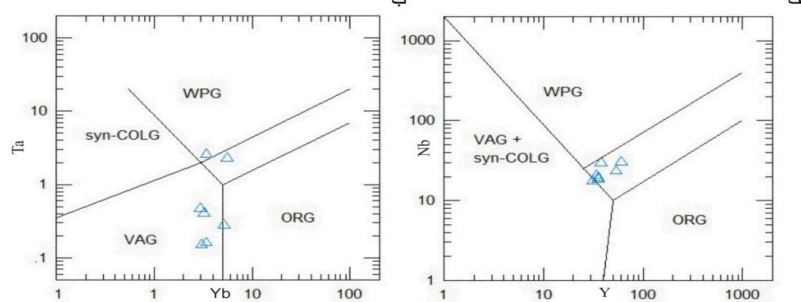
شکل ۵. الف) موقعیت نمونه های بنتونیت (مثلث) و سنگ درونگیر (دایره) در نمودار SiO_2 - Nb/Y (Winchester & Floyd, 1977) (ب) موقعیت نمونه های بنتونیت (لوژی) در نمودار Zr/TiO_2 - Nb/Y (Pearce et al., 1984)

قلیایی شامل دو سری آهکی قلیایی و تولئیتی می‌شود برای تفکیک سنگ‌های منطقه از (شکل ۸ ب) استفاده شده است. بر اساس نمودار اکثر نمونه‌ها در محدوده آهکی – قلیایی قرار می‌گیرند. نمونه S.GO.B دارای آهن و کلسیم بالا است و این در حالی است که میزان قلیایی‌ها در آن به شدت پایین بوده و به همین خاطر در محدوده ماقمای تولئیتی قرار گرفته است. به دلیل آنکه در تعیین منشا ماقمای، تمامی نمونه‌ها در محدوده ریولیتی قرار گرفته‌اند و ماقماهای ریولیتی غالباً از نوع کم قلیایی هستند (Winchester & Floyd, 1977). دلیل آنکه برخی از نمونه‌ها در محدوده تولئیتی قرار می‌گیرند این باشد که در اثر شستشو قلیایی‌های خود را از دست داده‌اند.

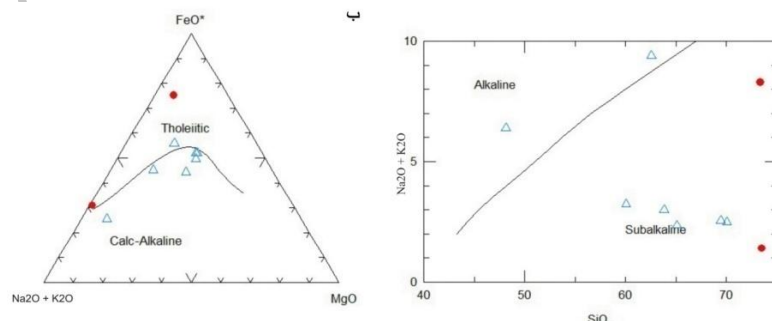
برای تعیین محیط زمین‌ساختی از دو نمودار $Ta = Nb$ در برابر $Yb = Y$ (Irvine & Baragar, 1971) استفاده می‌شود (شکل ۷ الف). (شکل ۷ ب) تقریباً محیط زمین‌ساختی کمان آتشفسانی و همزمان با برخورد (شکل ۷ ب) محیط زمین‌ساختی کمان آتشفسانی را نشان می‌دهد. به طور کلی با مقایسه دو نمودار و با توجه به نمونه‌هایی که کمتر تحت تاثیر عوامل بیرونی بوده‌اند، می‌توان محیط زمین‌ساختی کمان آتشفسانی را برای معدن چاه گلستان پیشنهاد داد که نشانده‌نده تشکیل آن در محیط فرورانش است. برای تعیین سری ماقمایی از نمودار مثلثی $MgO + Na_2O + K_2O$ و FeO و نمودار سیلیس در برابر قلیایی‌ها استفاده می‌شود (Pearce et al., 1984). همان‌طور که ملاحظه می‌شود اکثر نمونه‌ها در محدوده کم قلیایی قرار گرفته‌اند (شکل ۸ الف). از آنجا که سری کم



شکل ۶. الف) نمودار بهنجار شده عناصر خاکی نسبت به کندریت (نمودار AFM) نمونه‌های بنتونیت (مثلث) و سنگ درونگیر (دایره)



شکل ۷. موقعیت نمونه‌های بنتونیت در محیط‌های زمین‌ساختی در نمودارهای الف) $Nb = Ta$ در برابر $Yb = Y$ و ب) $Yb = Y$ در برابر $Ta = Nb$ (Irvine & Baragar, 1971)



شکل ۸ موقعیت نمونه‌های بنتونیت (مثلث) و سنگ درونگیر (دایره) برای تعیین سری ماقمایی در (الف) نمودار SiO_2 در برابر قلیاییها و ب) مثلث $MgO - FeO - Na_2O + K_2O$ و قلیایی‌ها (Pearce et al., 1984)

اگرچه تصور بر آن است که میزان قلیاییها می باشد در نمونه های بنتونیت پایین باشد، اما در واقع با توجه به تجزیه شیمیایی (جدول ۲ و ۳) در تعدادی از نمونه ها دیده می شود که مقدار قلیاییها حتی از نمونه سنگ درونگیر نیز بیشتر است که به نظر رسد Na و K به جای شرکت در ایجاد زوئیت در ساختن فلدسپارهای قلیایی به کار رفته اند که با نگاهی به جدول ۱ می توان این نکته را مشاهده کرد. در مورد نمونه S.G.C نیز که دارای Na بالا و فاقد فلدسپار است به نظر می رسد که Na اضافی برای تشکیل درصد بالای مونتموریولونیت مصرف شده باشد. (جدول ۱)

Shawahdi که برای یک کانسار بنتونیت گرمابی در نظر گرفته می شود، در منطقه دیده نمی شود. عدم وجود شواهدی مانند رگه های باریت، بافت استوکورک، سیلیسی شدن و چشمehای آب گرم گوگردی فعال، نشان دهنده این است که منطقه تحت تاثیر سیالات گرمابی قرار نگرفته است چرا که کانسارهای نوع گرمابی توسط عارضه های ساختاری کنترل می شوند (Yildiz & kuscu, 2007; Yildiz & kuscu, 2004; Christidis, 1995; Takagi, 2005).

نتیجه گیری

پژوهش حاضر نشان داد که بر اساس مشاهدات انجام شده در مقیاس صحرایی، کانسار بنتونیت چاه گلستان چینه کران (استراتاباند) و دارای ترکیبی متغیر است که این تغییرات ترکیبی بیشتر در ارتباط با فرآیند شستشو بوده است به طوریکه در برخی از نمونه ها سیلیس و در برخی دیگر قلیاییها شده اند. با توجه به تجزیه XRD ، مونتموریولونیت سدیمی فاز اصلی در همه بنتونیتها است و سیلیس نیز بیشتر به صورت اپال C (کریستوبالیت دما پایین) و کوارتز دیده می شود. عناصر قلیایی بیشتر به صورت آلبیت حضور دارند و ارتوکلاز نیز در یکی از نمونه ها دیده می شود که دلیلی بر فراوانی پتانسیم است. نبود کانیهای زوئیت از دیگر نکات قابل توجه این کانسار بوده چرا که فقط یکی از نمونه ها به مقدار اندک دارای کلینوپتیلویلت است.

نمودارهای زمین شمایی نشان دادند که ماگمای مادر نمونه ها ریولیتی و اسیدی است و بی هنگاری منفی Eu نیز این نکته را تایید می کند که میزان Ca در نمونه ها پایین است و مونتموریولونیت و پلاژیوکلاز نمونه ها از نوع سدیمی است. از سوی دیگر حضور آلبیت در بنتونیتها رابطه مستقیم با میزان Al_2O_3 دارد که این مسئله توسط نمودار AFM نشان داده شد.

بر اساس نمودارهای رائمه شده در شکل های ۷ و ۸ معدن چاه گلستان در محیط زمین ساختی کمان آتشنشانی به وجود آمده و سری ماگمایی آن از نوع آهکی - قلیایی است. حضور فلدسپارهای قلیایی نشان دهنده آن است که بنتونیت در دمای پایینی تشکیل شده است. با این حال، عدم وجود فلدسپار پتانسیم در غالب نمونه ها نشان دهنده آن است که دما بیش از اندازه - شبیه آنچه در محیط های دریایی رخ می دهد - پایین نبوده است. از طرف دیگر Ca و Na,K به طور کامل شسته نشده اند و می توان نتیجه گرفت که جریان سیال حجمی نبوده و نسبت آب : سنگ نیز پایین بوده است. پس به طور کلی نمی توان یک محیط زیر دریایی را برای کانسار پیشنهاد داد. با توجه به حضور فراوان لایه های ژیپس و از آنجا که کانسار به شکل لایه ای است می توان بیان کرد که کانسار در یک محیط دریایی لاگون مانند کم عمق حاوی Mg و در اثر فوران جریانات آذرآواری در آن به وجود آمده است.

تفاوت در میزان سیلیس نشان دهنده آن است که عوامل بیرونی تاثیرات متفاوتی را بر معدن گذاشته که این با توجه به بزرگی معدن قابل توجیه است. قابلیت شستشو بیشتر سیلیس بی شکل در مقایسه با سیلیس بلوری و غلظت های نسبتاً بالای سیلیس در آبهای زیر زمینی که سنتگهای آتشنشانی سیلیسی را زهکشی می کنند می تواند به عنوان دلیلی برای فراوانی سیلیس متحرک در حین دگرسانی در نظر گرفته شود (Yildiz & Kuscu, 2004). نسبتهای پایین سیلیس در برخی از نمونه ها مانند S.G.C که دارای مقدار اندک سیلیس بلوری (OPI-CT) است، می تواند نشان دهنده این مسئله باشد. در حالی که اگر نسبت سیلیس بالا باشد نشان دهنده عدم مهاجرت سیلیس است که این مطلب در نمونه های ۵ S.GO.4 و S.GO.5 قابل مشاهده است. در این نمونه ها که در ارتباط نزدیک با سنگ درونگیر (S.GO.A) هستند، مقدار سیلیس در سنگ درونگیر و بنتونیت بیشترین همبستگی را به یکدیگر دارد.

همانگونه که شکل ۵ ب نشان می دهد ماگمای مادر نمونه ها، ریولیتی است. این ماگماهای اسیدی دارای محتوای پایین Mg هستند که ترکیب شیمیایی سنگ Christidis et al., 1995; Yildiz & Kuscu, 2004 در بیشتر موارد حتی در نمونه های با منشا ریولیتی، Mg بیشتر از سنگ درونگیر تأثیر و درصد پایینی از آن از آب دریا گرفته می شود. مقایسه محتوای Mg بنتونیتها و سنگ درونگیر در معدن چاه گلستان نشان می دهد که محتوای Mg از سنگ درونگیر به ماده معدنی افزایش پیدا کرده است و سنگ میزان نمی تواند به تنها یعنی منشا آن باشد و احتمالاً Mg بیشتر از آب دریا گرفته شده است.

اگرچه همراهی زوئیتها با کانسارهای بنتونیت در بسیاری از تقاطع دنیا امری متدالول است (Grim& Guven, 1978)، اما این مطلب در مورد بنتونیت چاه گلستان صدق نمی کند. تنها در نمونه S.G.B و آن هم به مقدار اندک می توان کلینوپتیلویلت را مشاهده کرد. این کانسار از سنتگهای سیلیسی تشکیل شده است Grim & Guven, 1995; Yildiz & Kuscu, 2004 که به نظر نمی رسد برای تشکیل بنتونیت مساعد باشد (White & Claasen, 1980; White, 1983; Shiraki & Lijama, 1990; Christidis et al., 1995, Yildiz & Kuscu, 2004 آبپوشی اولیه و تبادل کاتیونی بین فاز سیال و شیشه آتشنشانی (Christidis et al., 1995, Yildiz & Kuscu, 2004 های خاکی آزاد می شوند و اگر سیستم به طور مساعدی بسته باشد، pH و شوری افزایش می پاید (Yildiz & Kuscu, 2004) با این حال، بنتونیت در شرایط شوری و pH نه چندان بالای سیال منفذی در مراحل اولیه دگرسانی شکل می گیرد (Sheppard & Gude, 1973; Dibble & Tiller, 1981, Hay & Guldman 1978; Christidis et al., 1995; Yildiz & Kuscu, 2004). زیرا در شرایطی که نسبت $(\text{Na}^+ + \text{K}^+)/\text{H}^+$ بالا باشد به جای بنتونیت زوئیت به وجود می آید . به طور کلی شستشوی قلیاییها و فعالیت بالای منیزیم شکل گیری بنتونیت را تسهیل می کند (Yildiz & Hess, 1966 ; Christidis et al., 1995; Yildiz & Kuscu, 2004). پس با توجه به محتوای پایین قلیاییها و نبود کانیهای زوئیت می توان بیان کرد که در هنگام تشکیل کانسار، سیستم باز بوده است و با توجه به شسته شدن قلیاییها، به عنوان یک چاهه عمل کرده است.

- دگرسانی شیشه آتشفشاری و شکل گیری اسماکتیت از راه توزیع مجدد Mg و Opal و گرفتن Mg از آب دریا. توزیع مجدد Si نیز منجر به ته نشینی - Opal CT می شود.

در نتیجه بنتونیت در این کانسار بر اساس واکنش زیر تشکیل شده است:
 شیشه + H_2O (آبکافت)---> ژل سیلیکات آلومینیوم آبدار ---> اسماکتیت + سیلیس آبدار + H_2O + کاتیونها

سپاسگزاری

این پژوهش در قالب حمایت مالی صندوق حمایت از پژوهشگران کشور (INSF) و بر اساس تفاہنامه ۲۲۶۷۶/ص ۹۰/۱۱/۲۳ مورخ ۹۰/۱۱/۲۳ انجام گردیده است که بدینوسیله از مدیریت و همکاران آن موسسه تشکر و قدردانی می شود. همچنین از پروفسور آلبرتو لوپز گالیندو و پروفسور سزار ویسراوس از اعضای هیئت علمی دانشگاه گرانادای اسپانیا به خاطر همکاری صمیمانه و انجام پاره ای از آزمایشها، سپاسگزاری می گردد.

با توجه به شدت دگرسانی می توان در مورد ماهیت سنگ درونگیر به طور غیر مستقیم نتیجه گیری کرد.

مطالعه حاضر نشان داد که ژنز کانسار از نوع دیاژنتیکی است و شواهد زیر نیز آن را تایید می کند:

- کانسار از نوع لایه ای است
- شواهد دگرسانی در سنگ دیواره حضور ندارد
- عدم حضور کانیهای مثل کائولن و برخی از سولفیدها که بیشتر در دگرسانی گرمابی به وجود می آیند.
- مقدار فراوان کانی مونت موریلوئیت

مراحل تشکیل این کانسار را می توان به صورت زیر بیان کرد:

- قرار گیری سنگهای آذرآواری در یک لagon
- اختلاط بین آب دریا و شیشه آتشفشاری که منجر می شود به:
 (الف) واکنش شدید بین آب سرد دریا و شیشه داغ
 (ب) سرد شدن سریع شیشه آتشفشاری و در نتیجه شکل گیری وسیع خلل و فرج

در شیشه آتشفشاری

پ) شسته شدن عناصر شیمیایی مانند قلاییها و Ca

منابع

- آقا نباتی س.ع، زمین شناسی ایران(۱۳۶۵)، انتشارات سازمان و اکتشافات معدنی کشور، ص ۶۱۹
 حجازی.م، قربانی.م.(۱۳۷۳) بنتونیت – زئولیت ، سازمان زمین شناسی کشور، ص ۶۷
 نادری میقان.ن(۱۳۷۹) نقشه ۱:۱۰۰۰۰۰ آیسک، سازمان زمین شناسی کشور
- Abedini, A. Calagari, A.A , and Akbari,M., 2009. Geochemistry and genesis of Mehredjan bentonite deposit, Suthest of Khoor, Isfahan province. JGeope, p. 47 -58
- Berkley, J.L., and Baird, G.C., 2002. Calcareous K-bentonite deposits in the Utica shale and Trenton Group (Middle Ordovician), of the Mohawk Valley, New York State. Physics and Chemistry of the Earth, 27, p.265–278
- Christidis G. , and Scott P. 1993. Laboratory evaluation of bentonites. Industrial Minerals, 311, 51_57.
- Christidis G., Scott P., and Marcopolos T., 1995. "Origin of the bentonite deposits of Eastern Milos, Aegean",Greece: Geological, Mineralogical and Geochemical evidence, Clays and Clay Minerals, 43(1), 63-77.
- Christidis, G.E., 2001. Geochemical correlation of bentonites from Milos Island, Aegean, Greece. Clay Minerals, 36, p.295-306
- Dibble Jr., W. E., and Tiller., W 1981. Kinetic model of zeolite paragenesis in tuffaceous sediments. Clays and Clay Minerals. 29: 323-330.
- Foreman B.Z., Rogers R.R., Deino A.L., Wirth K.R. & Thole J.T., 2008. Geochemical characterization of bentonite beds in the Two Medicine Formation (Campanian, Montana), including a new 40Ar/39Ar age. Cretaceous Research, 29, 373_385.
- Foreman, B.Z., Rogers, R.R., Deino, A.L., Wirth, K.R., Thole, J.T., 2007. Geochemical characterization of bentonite beds in the Two Medicine Formation (Campanian, Montana), including a new 40Ar/39Ar age. Cretaceous Research, 93, p. 1-13.
- Grim R.E., 1962. Applied Clay Mineralogy. International Series in Earth Sciences. McGraw- Hill Book Co. Inc., New York.
- Grim, R.G. and Guven, N., 1978. Bentonites—Geology, Mineralogy, Properties and Uses. Elsevier, Amsterdam, 256pp
- Harben, P. W., and R. L. Bates., 1990. Geology of the Nonmetallics. New York: Metal Bulletin Inc. 62-89.
- Hartwell, J.M.,1965. The diverse uses of montmorillonite.Clay Miner. 6: 111-1
- Hay, R. L., and Sheppard, R. A., 1977. Zeolites in open hydrologic systems. In Reviews in Mineralogy, Vol. 4. Mineralogy and Geology of Natural Zeolites. F. A. Mumpton, ed. Washington, D.C.: Mineral. Soc. Am., 93-102.
- Hay, R. L., and Guldman. S. G., 1987. Diagenetic alteration of silicic ash in Searles Lake, California. Clays and Clay Minerals. 35: 449-457.
- Hess, P.C., 1966. Phase equilibria of some minerals in the K₂O, Na₂O, Al₂O₃, SiO₂, H₂O system at 25~ and 1 atmosphere. Am. J. Sci. 264: 289-309.
- Hints, R., Kirsimäe, K., Somelar, P., Kallaste, T. and Kiipli, T., 2008. Multiphase Silurian bentonites in the Baltic Palaeobasin. Sedimentary Geology, 209, p. 69–79.
- Hosterman J.W., and Patterson S.H., 1992. Bentonite and fuller's earth resources of the United States. US Geological Survey Professional Paper, 1522, 45 pp.

- Huff W.D., Merriman R.J., Morgan D.J. and Roberts B., 1993. Distribution and tectonic setting of Ordovician K-bentonites in the United Kingdom. *Geological Magazine*, 130, 93–100.
- Huff, W., 2008. Ordovician K-bentonites: Issues in interpreting and correlating ancient tephras. *Quaternary International*, 178, p. 276–287.
- Irvine T. N., Baragar W.R.A., 1971. "A guide to the chemical classification of the common volcanic rock, Canadian Journal of Earth Science", 8, p.523-548.
- Keith, K.S. and Murray, H.H., 1994. Clay liners and barriers. Chapter in *Industrial Minerals and Rocks*, 6th Edition. Carr, D.D., ed. Society for Mining, Metallurgy and Exploration, Littleton, CO, pp. 435–462
- Kolarikova, I., Hanus, R., 2008. Geochemistry and mineralogy of bentonites from Ishirini (Libya). *Chemie der Erde-Geochemistry*, 68, p.61–68.
- Mariner R.H., and Surdam R.A., 1970. Alkalinity and formation of zeolites in saline alkaline lakes. *Science*, 170, 977–980.
- Muchangos, A.C., 2006. The mobility of rare-earth and other elements in process of alteration of rhyolitic rocks to bertronite (Lebombo Volcanic Mountainous Chain, Mozambique). *Journal of Geochemical Exploration*, 88, p.300-303.
- Murray, H.H., 2007. Applied clay mineralogy occurrences, processing and application of kaolines, bentonites, palygorskite, and common clays, p. 12- 13
- Patterson, S. H., and H. H. Murray.,1983. Clays. In *Industrial Minerals and Rocks*. S. J. Lefond, ed. New York: Am.Inst. Mining Engineers, 519-585.
- Pearce J. A., Harris N. B. W., Tindle A. G., 1984. "Trace element discrimination diagrams for the tectonic interpretation of granitic rocks, Petrology", 25, Part 4, 956-983.
- Pellenard, P., Deconinick, J.F., Huff, W.D., Thierry, J., Marchand, D., Fortwengler, D., Trouiller, A., 2003. Characterization and correlation of Upper Jurassic (Oxfordian) bentonite deposits in the Paris Basin and the subalpine basin, France. *Sedimentology*, 50, p. 1035-1060.
- Roberts B. & Merriman R.J. ,1990. Cambrian and Ordovician metabentonites and their relevance to the origins of associated mudrocks in the northern sector of the Lower Paleozoic Welsh marginal basin. *Geological Magazine*, 127, 31–43.
- Savage, D., Walker, C., Arthur, R., Rochelle, C., Odae, C., Takase, H., 2007. Alteration of bentonite by hyperalkaline: A review of the role of secondary minerals. *Physics and Chemistry of the Earth*, 32, p. 287–297
- Senkayi A.L. Dixon J.B. Hossner L.R. Abder-Ruhman M., and Fanning D.S. ,1984. Mineralogy and genetic relationship of tonstein, bentonite and lignitic strata in the Eocene Yegna Formation of East-Central Texas. *Clays and Clay Minerals*, 32, 259_271.
- Sheppard, R. A., and Gude A. J., 1973. Zeolites and associated authigenic silicate minerals in tuffaceous rocks on the Big Sandy Formation, Mohave County, Arizona. U.S. Geol. Surv. Prof. Paper No. 830: 36p.
- Shiraki, R., and T. Iijima., 1990. Na-K ion exchange reaction between rhyolitic glass and (Na, K) Cl solution under hydrothermal conditions. *Geochim. Cosmochim. Acta* 54: 2923-2931.
- Slaughter M. & Earley J.W.,1965. Mineralogy and geological significance of the Mowry bentonites, Wyoming. Geological Society of America, Special Paper, 83, 95 pp.
- Spears, D.A., Kanaris-Sotirios, R., Riley, N., Krause, P., 1999. Namurian bentonites in the Pennine basin, UK-origin and magmatic affinities. *Sedimentology*, 46, p. 385-401.
- Steefel C.L., and van Cappellen P., 1990. A new kinetic approach to modelling water-rock interaction: The role of nucleation, precursors and Ostwald ripening. *Geochimica et Cosmochimica Acta*, 54, 2657_2677.
- Takagi T., Koh S. M., Song M. S., Itoh M., Mog K., 2005. "Geology and properties of the Kawasaki and Dobuyama bentonite deposits of Zao region in northeastern Japan", *Clay Minerals*, 40, 333-350.
- Taylor M.W., and Surdam R.C., 1981. Zeolite reactions in the tuffaceous sediments at Tells Marsh, Nevada. *Clays and Clay Minerals*, 29, 341_352.
- White A.F., 1983. Surface chemistry and dissolution kinetics of glassy rocks at 25°C. *Geochim. Cosmochim. Acta* 47: 805-815.
- White, A. F., and Claassen. H. C., 1980. Kinetic model for the short-term dissolution of a rhyolitic glass. *Chem. Geol.* 28: 91-109.
- Winchester J. A., Floyd P. A., 1977. "Geochemical discrimination of different magma series and their differentiation products using immobile elements", *Chemical Geology*, 20, 325-343.
- Yalcin H., and Gumuser G., 2000. "Mineralogical and geochemical characteristics of late Cretaceous bentonite deposits of the Kelkit Valley region", northern Turkey, *Clay minerals*, 35, 807- 825.
- Yildiz A., and Kuscu M., 2004. "Origin of the Basoren (Kutahya W Turkey) bentonite deposits", *Clay Minerals*, 39, 219-231
- Yildiz A., Dumlupunar I., 2009. Mineralogy and geochemical affinities of bentonites from KapIkaya(Eskisehir, western Turkey), clay minerals, 44, 339- 360